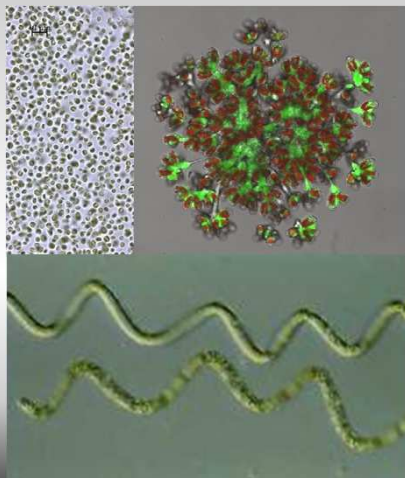
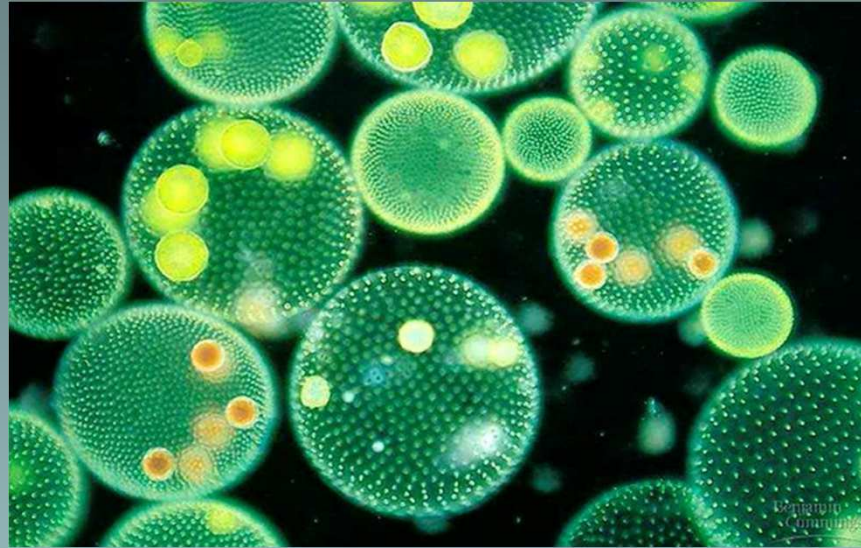


Microalgues et biocarburants : potentiel et enjeux actuels



$$r_x = \rho\phi\Lambda - \mu_s \frac{K_r}{K_r + G} X = \rho\phi\Lambda - \frac{J_{NADH_2} M_x}{v_{NADH_2-X}} \frac{K_r}{K_r + G} X$$

Jack LEGRAND, Jérémy PRUVOST



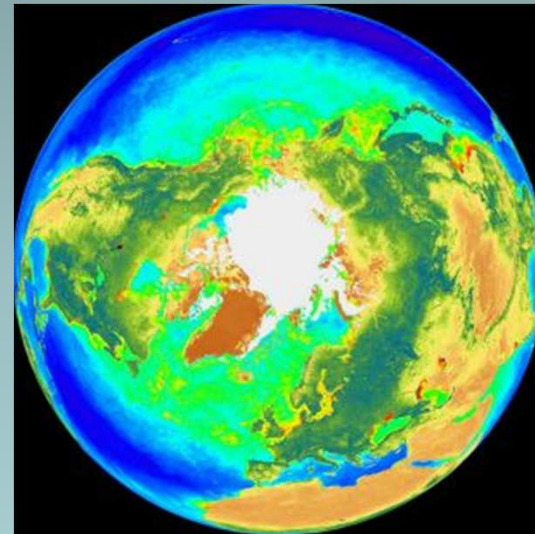
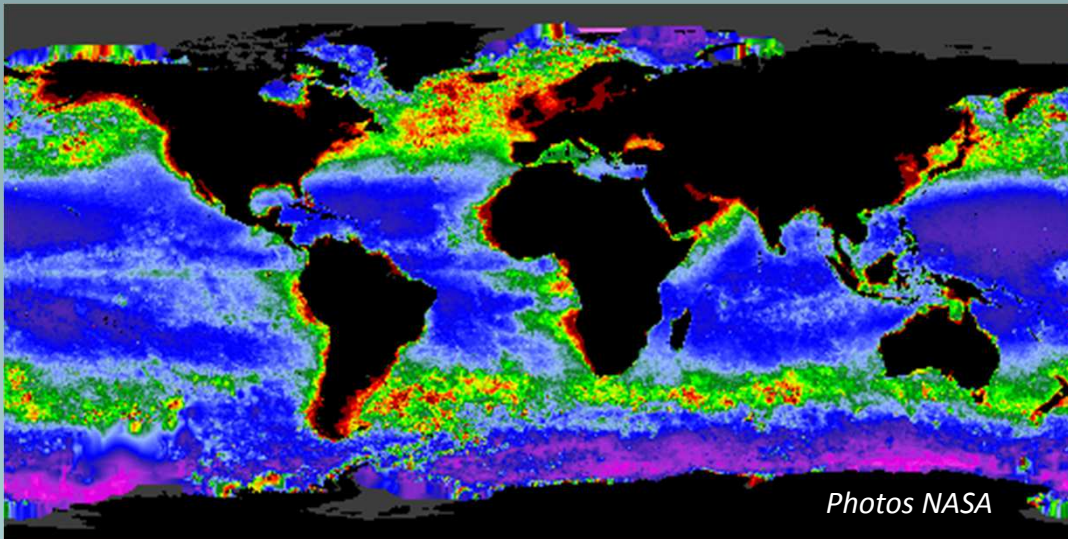
Microalgues, Cyanobacteries

Croissance par photosynthèse :

Milieu entièrement minéral, sans apport d'un substrat organique (organismes autotrophes), par absorption en milieu aqueux des minéraux nécessaires et du **carbone inorganique** environnant grâce à la **lumière captée** .

Les micro-algues et les cyanobactéries

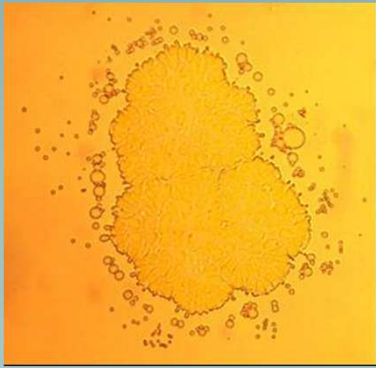
... une biodiversité à peine explorée :
30 000 espèces décrites
200 000 à 1 million estimées



Photosynthèse : - fixation du CO_2
- production d' O_2

Biodiversité

► précurseurs de la vie sur terre



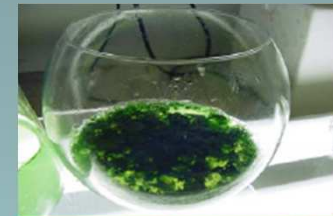
Botryococcus Braunii



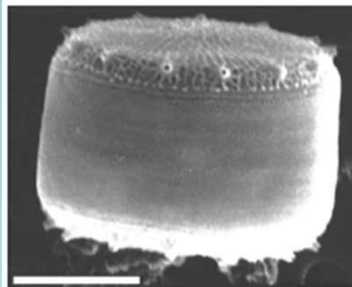
Euglena



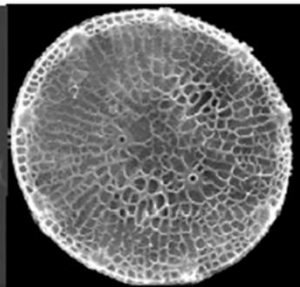
Cyanobacteria



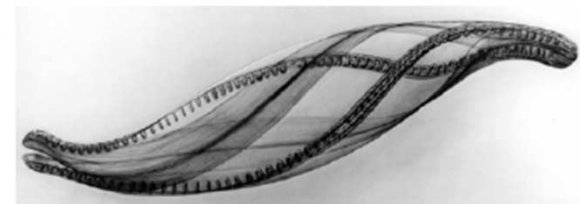
Cyanobacteria



Thalassiosira pseudonana



Phaeodactylum tricornutum



Cylindrotheca fusiformis

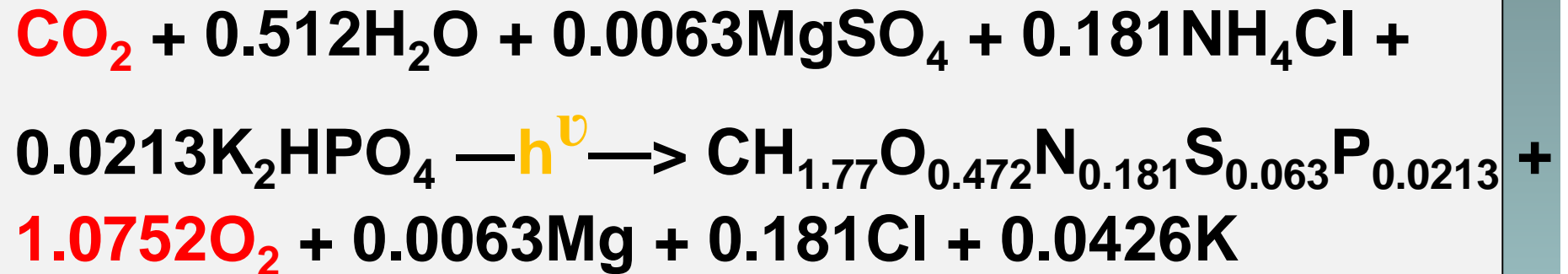
Photosynthèse

- Grande diversité (longue évolution)
- Biochimie très variée
- Vitesse de croissance élevée

- Teneur élevée en **protéines**
- **Carbohydrates** : amidon, sucres, glucose, polysaccharides
- **Lipides** : Glycérols, acides gras saturés ou pas (w_3 , w_6) (de 1 à 70% de la matière sèche)

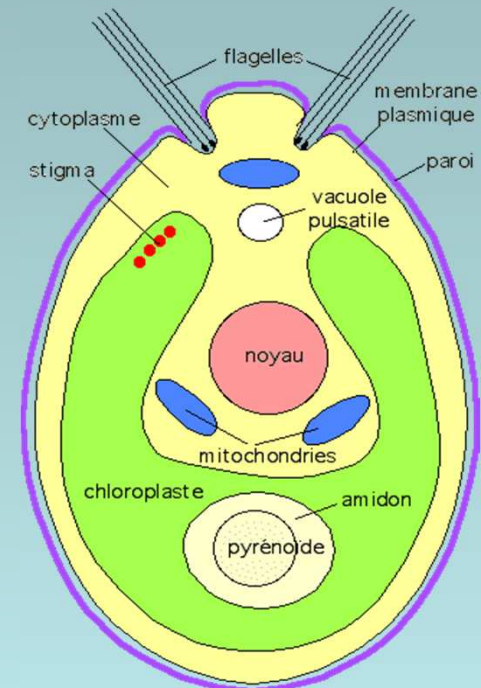
- **Pigments** : caroténoïdes, phycobiliprotéines

Photosynthèse



1 kg CO₂ → 0.6 kg biomasse

Photosynthèse : chloroplaste
Respiration : mitochondrie
Absorption de la lumière : pigments =
Chlorophylle + Caroténoïdes)



Systemes de production

Lumière



Microalgues
Nutriments
(chimiques,
gaz)

Photobioréacteur

⇒ **Produits**

Paramètres :

Cinétiques

physique : rayonnement, transfert
gaz/liquide

chimique : incorporation cellulaire des
nutriments

biologique : photosynthèse,
métabolisme

~30 000 tonnes de microalgues sont commercialisées par an

**Spirulina Production in India
(Parry Nutraceuticals Ltd.)**



Spirulina Production in China (Hainan)



Algatech, Israël



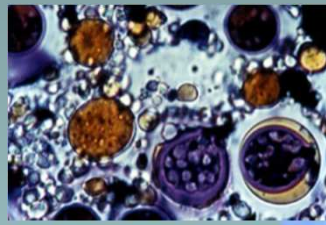
AlgoSource, France



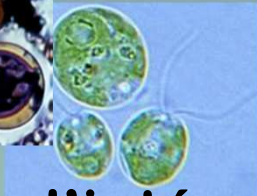
Cyanotech, Hawaï

Valorisation industrielle des microalgues

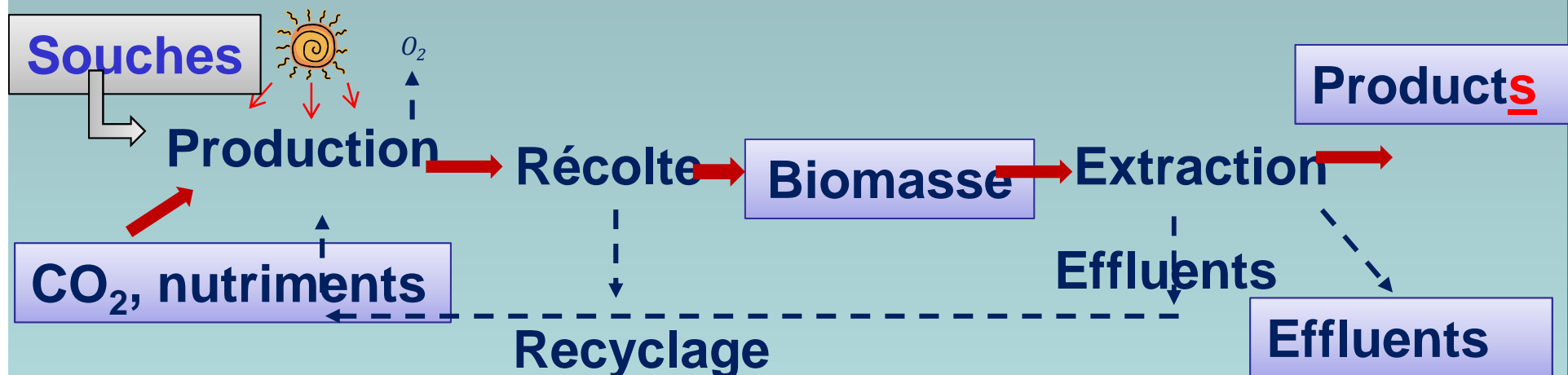
- Biomasse spécifique : milieux aqueux



Nouvelle ressource



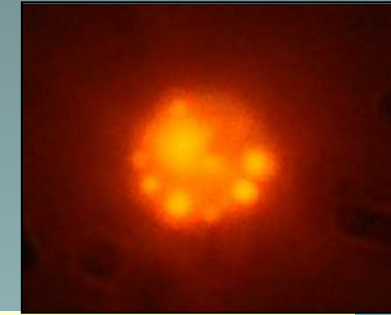
- Nécessité d'intégrer les différentes étapes



Valorisation énergétique des microalgues

Différents vecteurs énergétiques :

H₂ (photolyse de l'eau), lipides (biodiesel), polysaccharides (bioethanol), fermentation (méthane)

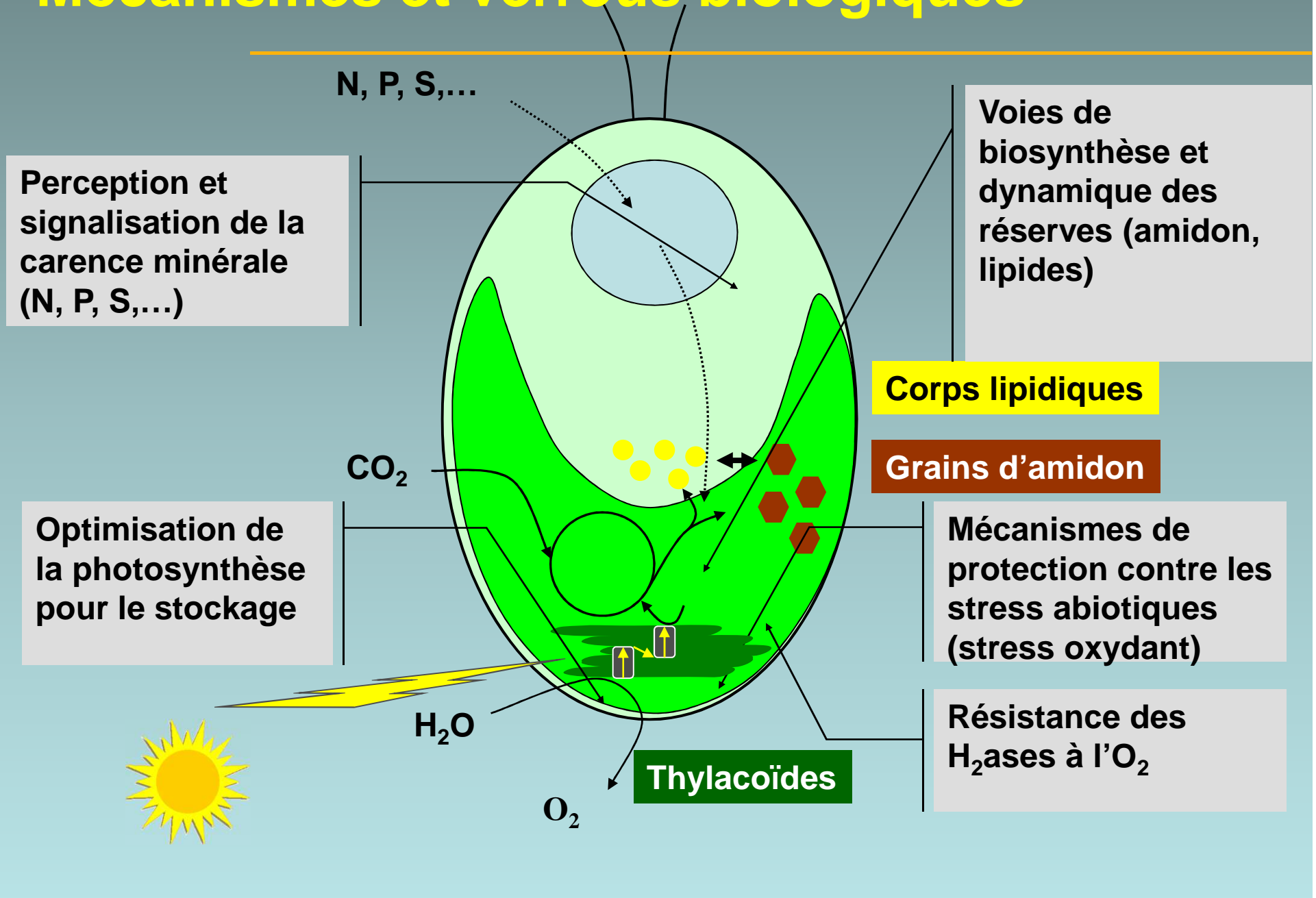


- Production sans gaz à effet de serre
- Production contrôlée dans des systèmes clos : pas de relargage de fertilisants, recyclage de l'eau,
- Pas de compétition avec l'alimentation



**Production solaire de
masse**

Mécanismes et verrous biologiques



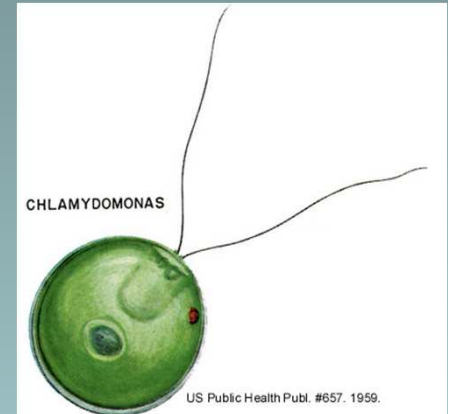
Production d'hydrogène par voie biologique

Chlamydomonas reinhardtii

Algue verte unicellulaire; bi flagellée;
ordre des Volvocales

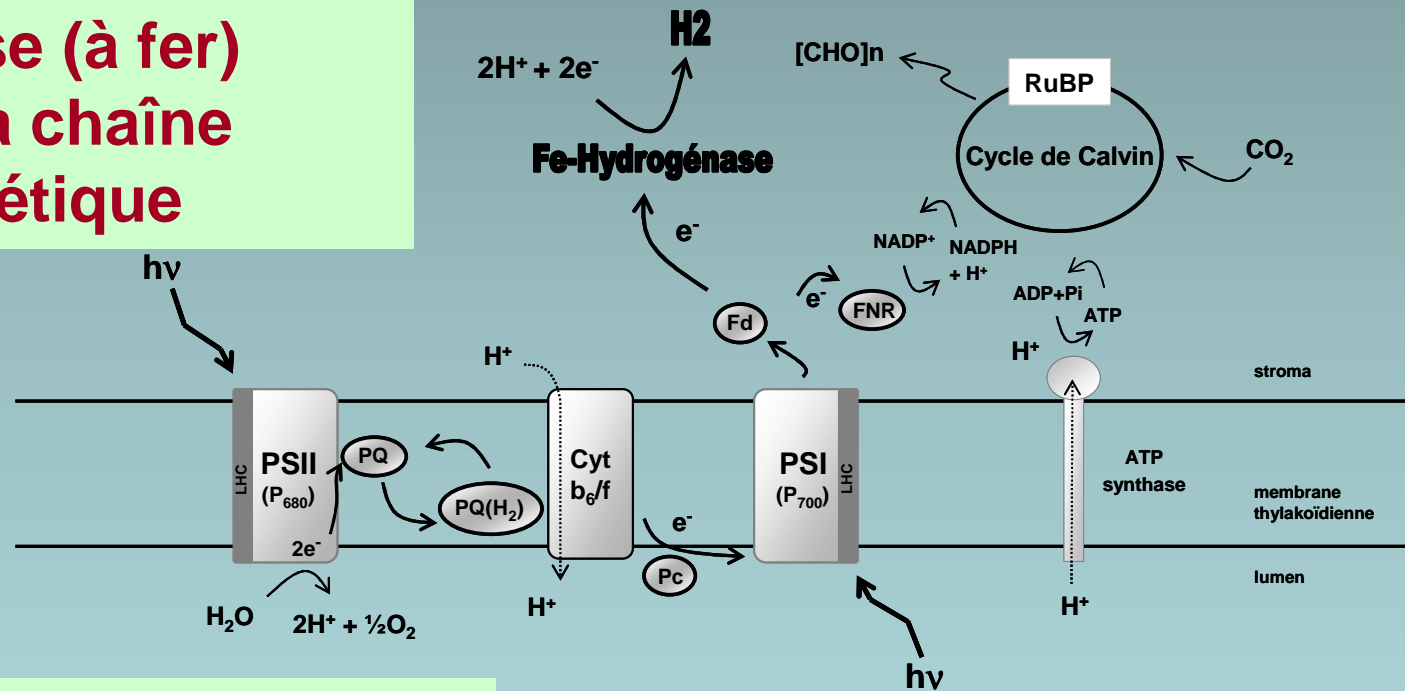
. Organisme modèle : facilement
cultivable

. Production H₂ : hydrogénase à forte
activité spécifique



Métabolisme de l'H₂ chez *Chlamydomonas reinhardtii*

Existence d'une hydrogénase (à fer) couplée à la chaîne photosynthétique



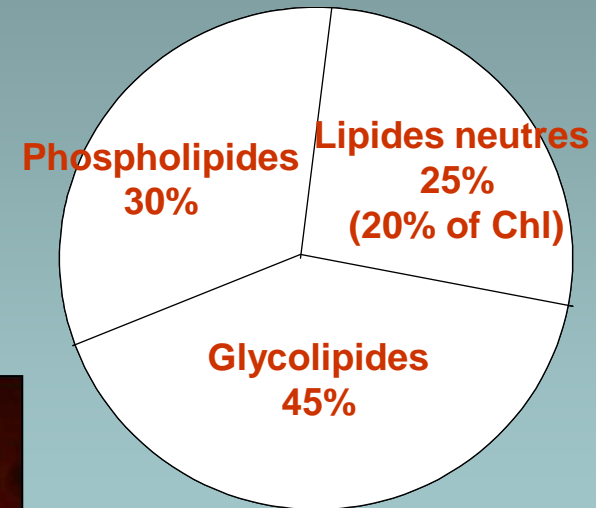
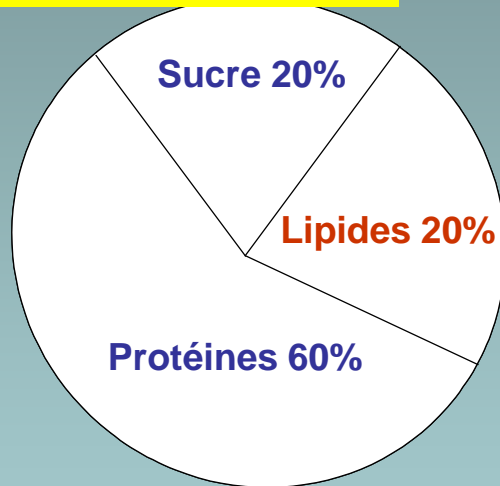
Dégagement transitoire d'H₂ (mécanisme de protection)

Facteur limitant la production d'H₂ : la sensibilité de l'hydrogénase à l'O₂

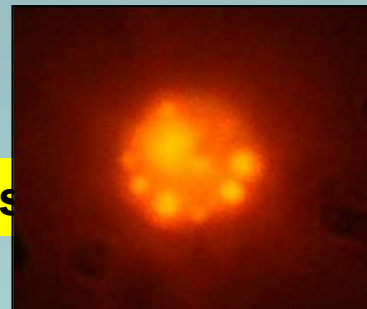
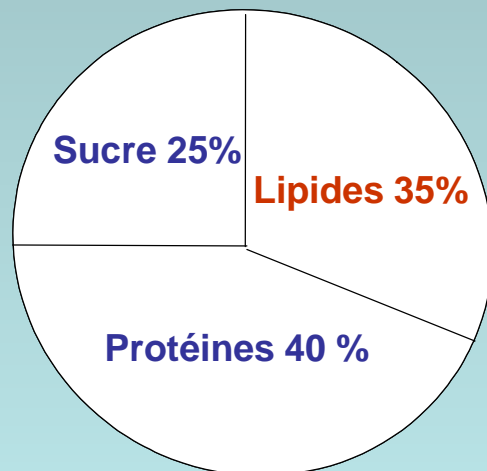
Modification des profils de lipides

Neochloris oleoabundans

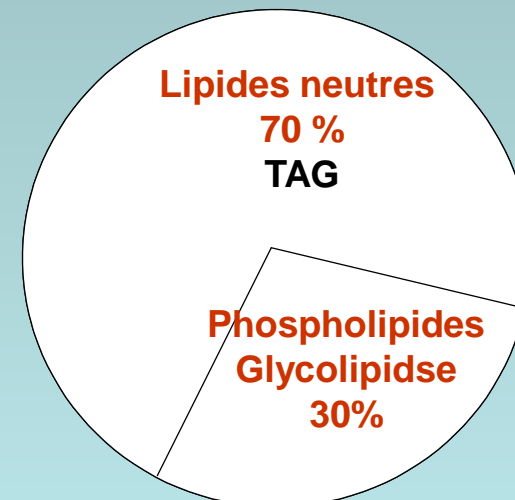
Conditions standard



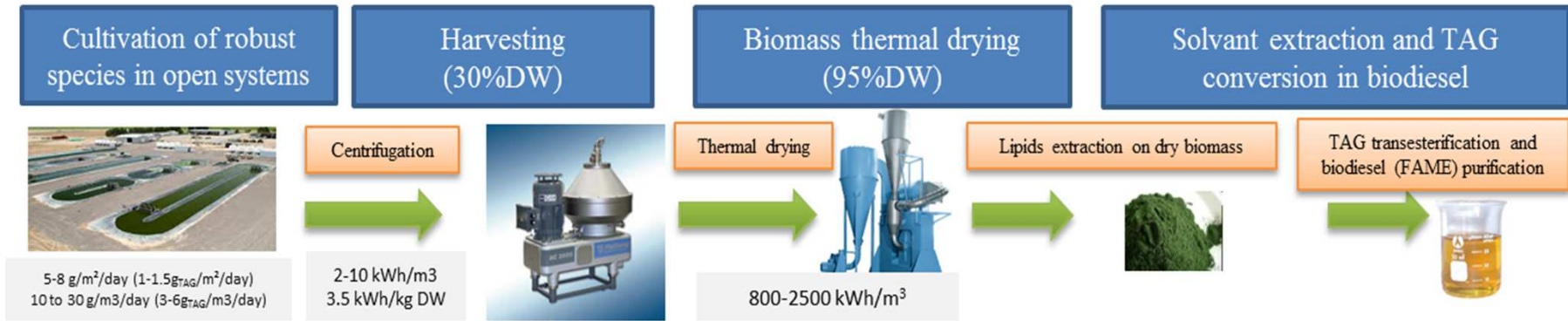
Conditions de carence en nitrates



**Accumulation
des lipides
Principalement
en TAGs**



CAN WE PRODUCE BIODIESEL FROM MICROALGAE?



Current process for biodiesel production from microalgae ("the dry route")

Shamash-PE project (2009-2013)



Production of 100 kg of DW biomass in raceway (AlphaBiotech, AlgoSource group)

Extraction of 5-8 l of lipids from microalgae (CO₂sc, M2P2)

Production of microalgal biodiesel (CIRAD)

Engine test (PSA)

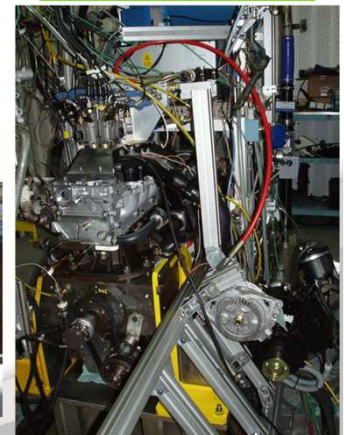


Flask 20 l

Columns 60ls

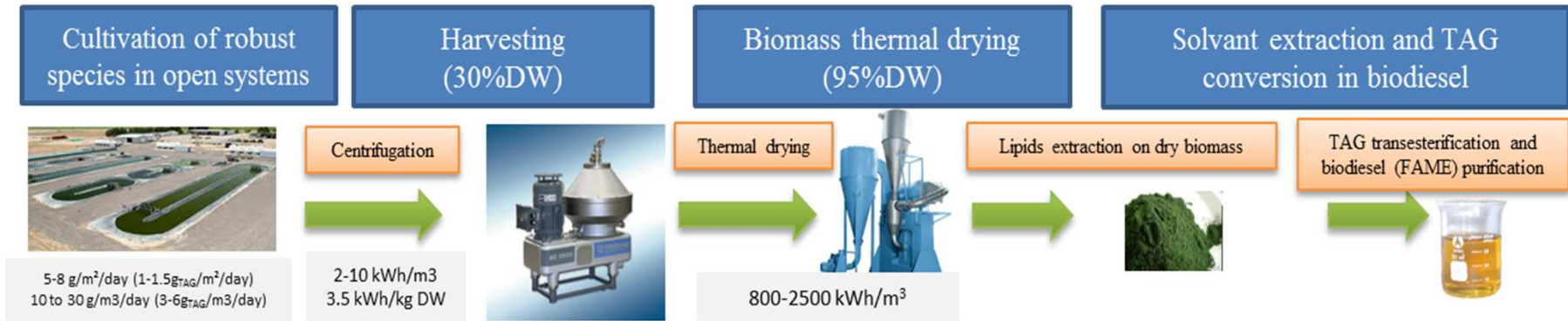


Crédits photo PSA



Biodiesel from microalgae was produced and tested in HDi engines (see Perrier et al., Fuel, 2015)

CAN ALGO-FUELS BE SUSTAINABLE?



Current process for biodiesel production from microalgae ("the dry route")

What could be the impact of technological innovations?



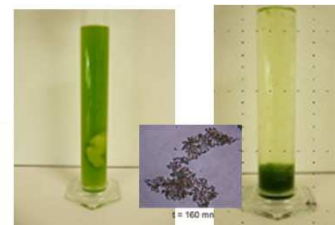
45° inclined PBR

13 g/m²/day
 260g/m³/day
 Mixing 0.35 kWh/m³
 Thermal regulation 1.1 kWh/m³

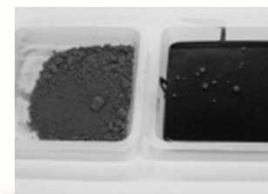


AlgoFilm© PBR (ultrathin system)

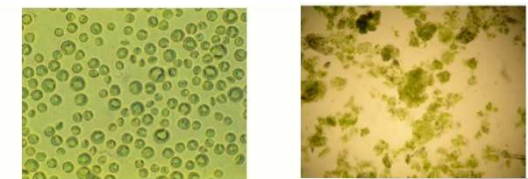
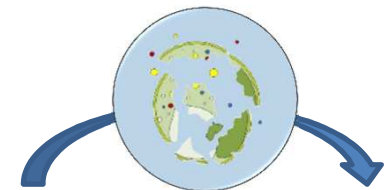
13 g/m²/day
 6000g/m³/day
 Mixing 0.35 kWh/m³
 Thermal regulation 1.1 kWh/m³
 (0 if passive regulation)



Flocculation



Hydroliquefaction



Wet-biomass extraction

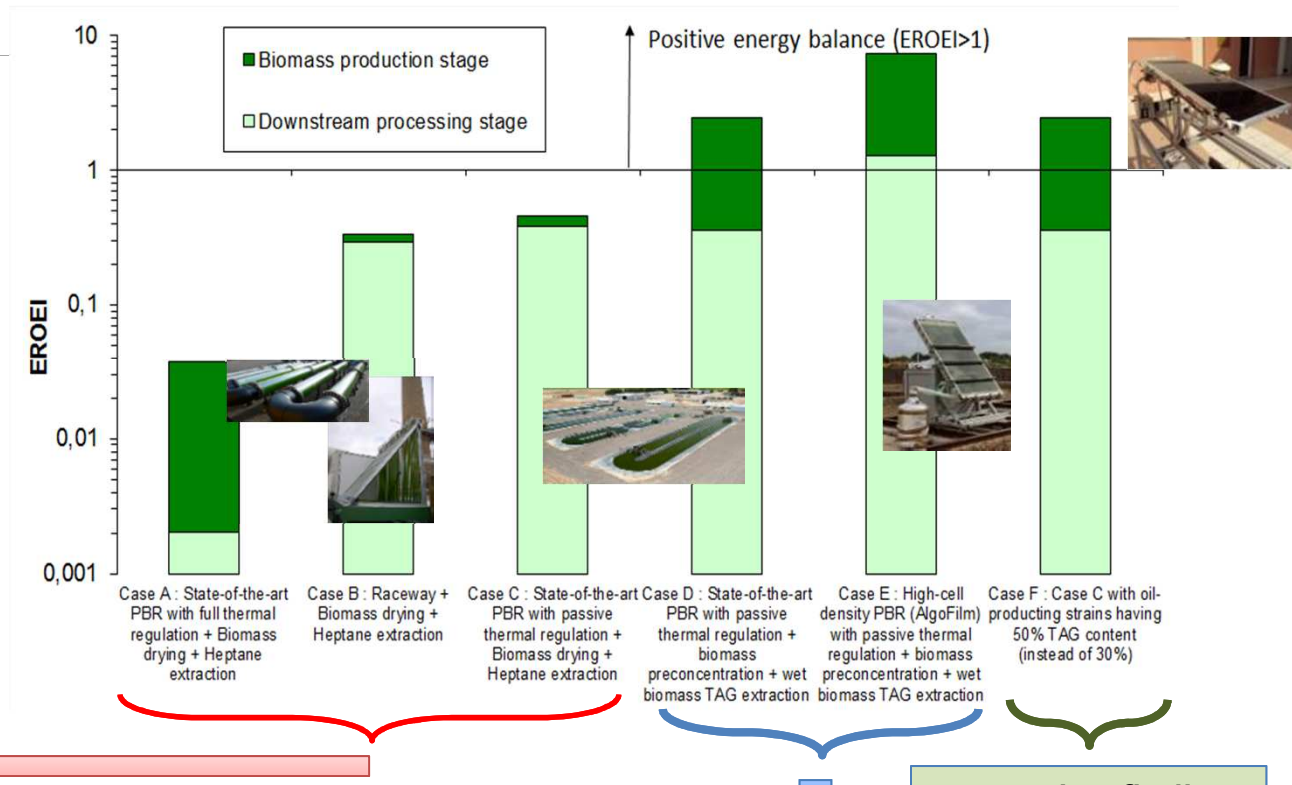
ANR Biosolis (2007-2011)

TOWARDS INDUSTRIAL SUSTAINABLE PRODUCTION

Study case: Production of 100 kT of oil/year

	Surface (ha)	Volume (Mm ³)
Lagoon	50 000	200
Raceway	16 700	50
PBR (5 cm)	5 000	2.5
AlgoFilm	5 000	0.25

Production in raceway or in PBRs with full thermal regulation, following by biomass drying and scCO₂ extraction, leads to a negative energy balance



Developing new technologies for sustainability

Intensified photobioreactors have a significant effect on the overall energy balance:

→ The volumes decrease allows reducing the global energy consumption due to thermal control, agitation, pumping

The work on wet biomass has also brought a significant improvement by decreasing by one order of magnitude the consumed energy compared to the classical method

Possibility of a positive overall energy balance (maximal EROEI of about 7)

This was retained as guidelines of the GEPEA R&D effort

Improving/finding strains with high TAG production

THE DIESALG PROJECT (ANR)



UNIVERSITÉ DE NANTES



Current process for biodiesel production from microalgae ("the dry route")

Current process lines present negative energy balance: technological breakthroughs and systematic optimization are needed for a sustainable and effective biofuel production.

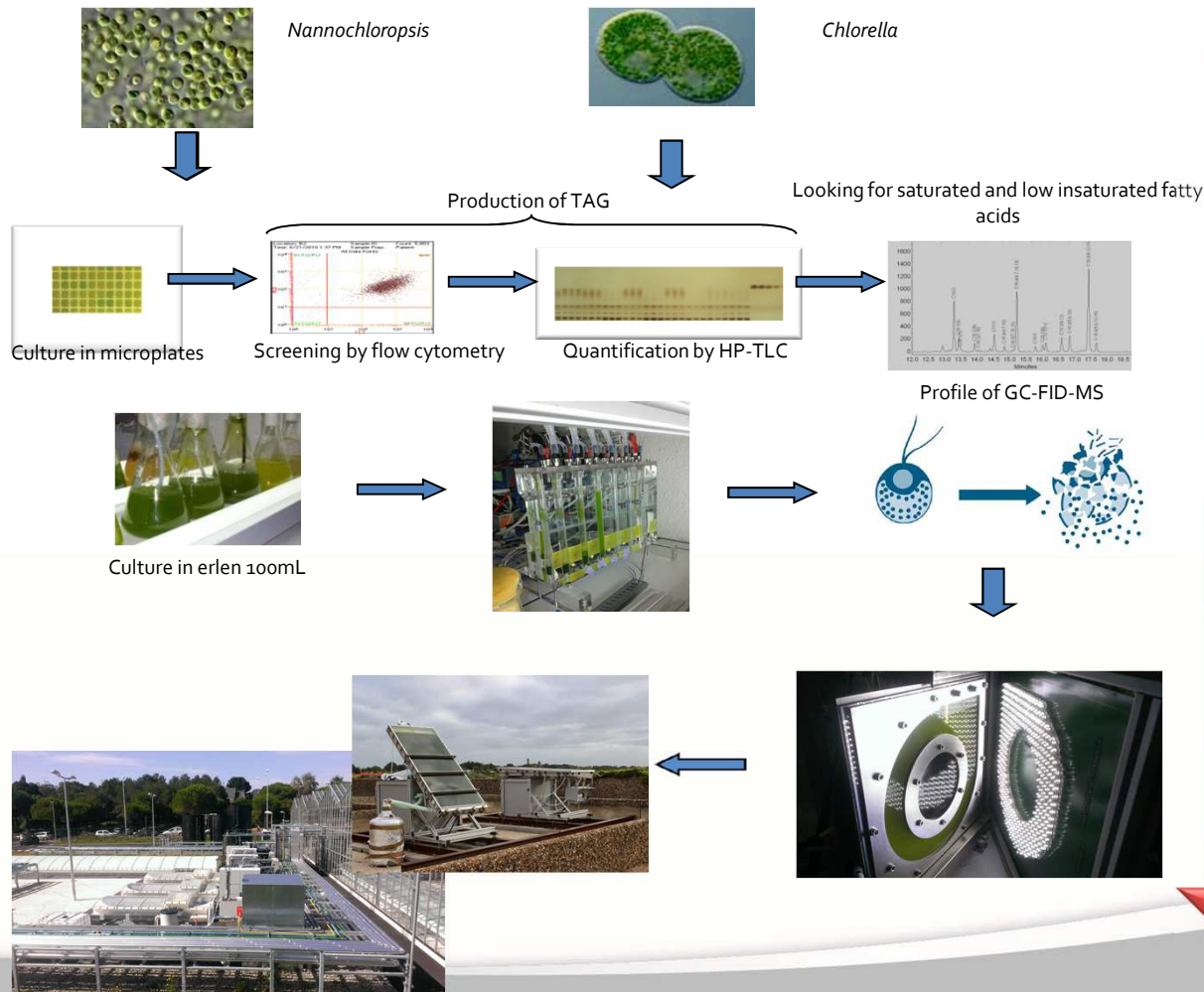
Key-aspects

- **Strain screening** : the strain has a global impact on the process (culture, extraction, scalability, robustness). Selection have to consider this impact and not only TAG content has usually done...
- **New process development and intensification**: optimized and intensified cultivation systems, extraction methods able to work on wet-biomass
- **Overall optimisation and industrial integration**

ANR DiesAlg (2012-2015)

THE DIESALG PROJET: STRAINS SCREENING

Combining high-throughput and process-scale screening approaches for selection of industrially efficient oil-producing strains



An integrated approach combining both Heliobiotec and GEPEA-AlgoSolis facilities

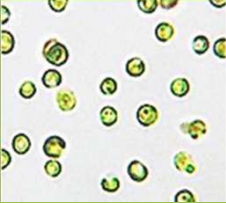

Héliobiotec
(high-throughput techniques)

GEPEA

(characterization at process scale)

ALGO SOLIS
MICROALGAE R&D FACILITY

THE DIESALG PROJÉT: STRAINS SCREENING

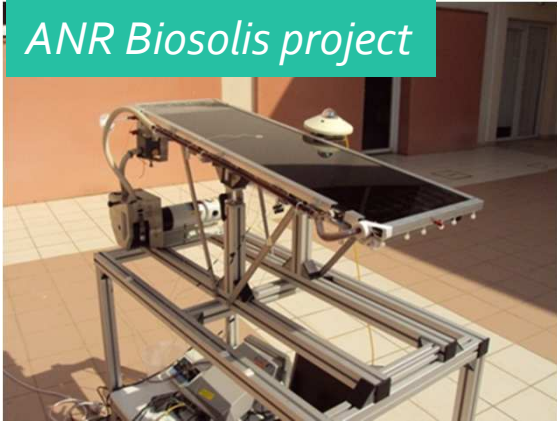
	Nannochloropsis gaditana (sea water strain)	Parachlorella kessleri (fresh water)
		
Biomass productivity (+N)	27g/m ² /day (100t/ha/year)	27g/m ² /day (100t/ha/year)
Lipid productivity	2,3-2,5g _{TAG} /m ² /day (8-10t _{TAG} /ha/year)	2,7-4,4g _{TAG} /m ² /day (10-16t _{TAG} /ha/year)
Oil productivity	9-12m ³ _{TAG} /ha/year	12-20m ³ _{TAG} /ha/year
Lipid content	62% Total lipids 56% TAG	41-65% Total lipids 38-46% TAG
Cells disruption (TAG wet-extraction)	>70%	>90%

Selection of two oil-producing strains (1 fresh and 1 seawater)

(1) with high TAG accumulation, (2) with high growth rate in N deprivation, (3) with high culture robustness and (4) easy to process in wet-extraction

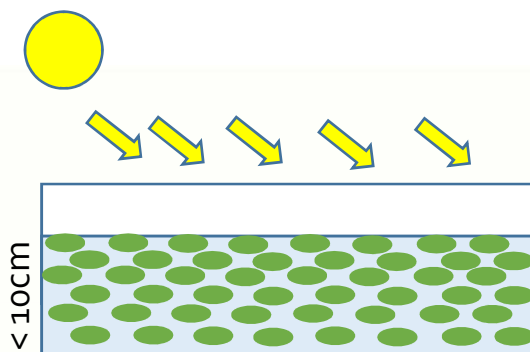
SOLAR PHOTOBIOREACTORS INTENSIFICATION

ANR Biosolis project



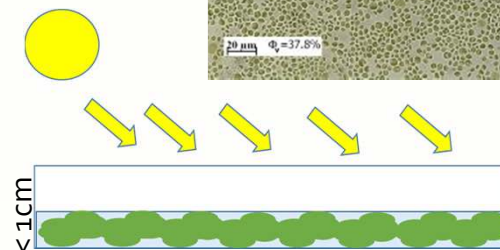
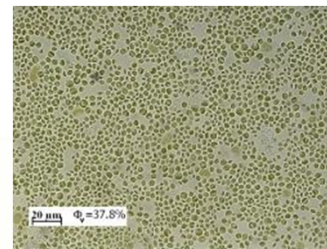
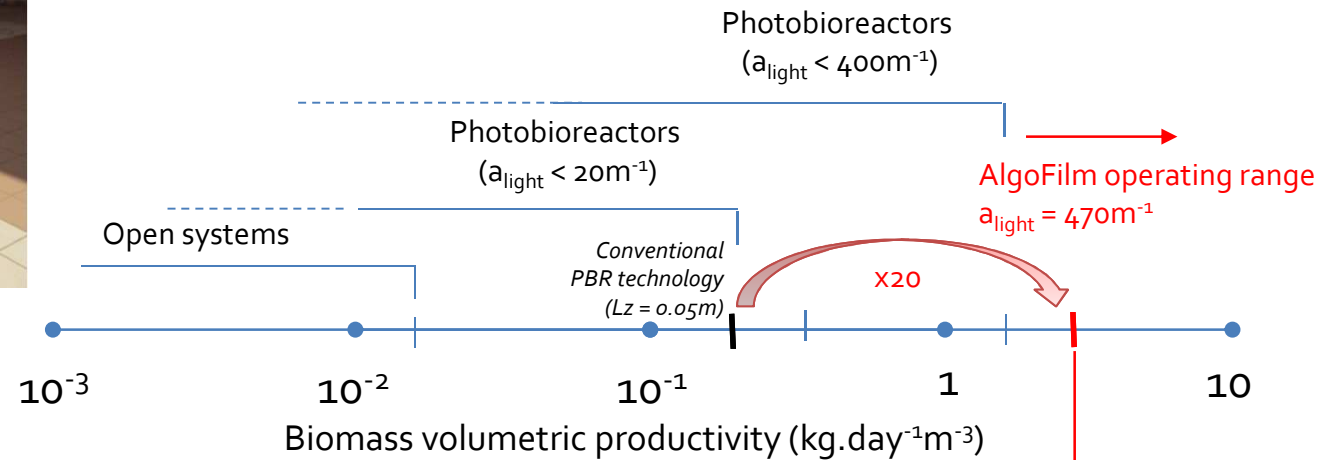
2 Patents (CNRS-Univ.Nantes)

2.1 liter/m² of culture
(150 liter/m² for a raceway)



Standard PBR
 $C_{x_{max}} \approx 1-10$ (g/L)

AlgoFilm PBR: PBR technology for solar production with High Cell Density culture (>10g/l in continuous culture)



High-Cell density culture
(High Volumetric Productivity PBR)
 $C_{x_{max}} > 10$ (g/L)

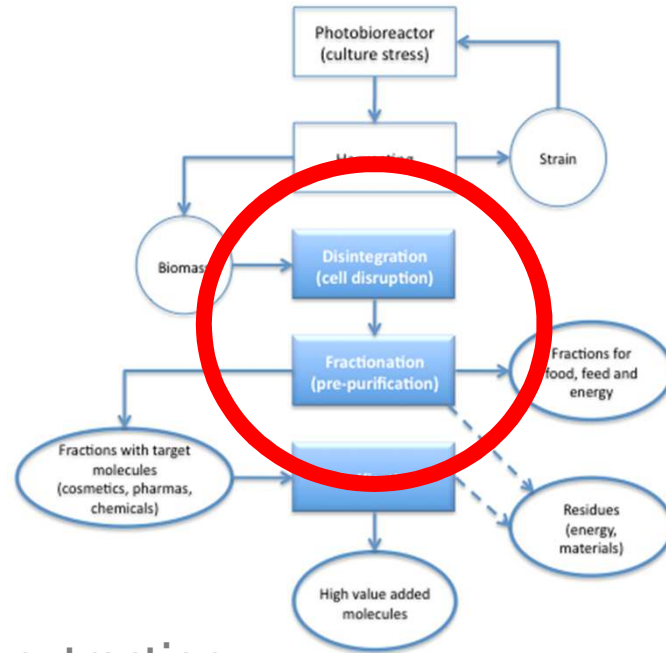
Maximal productivity achieved:
 $6.0 \text{ kg} \cdot \text{m}^{-3} \cdot \text{d}^{-1}$
($C_x > 15 \text{ kg} \cdot \text{m}^{-3}$)
(*C.vulgaris* - chemostat - 3 weeks stable production – Average PFD $270 \mu\text{mole}/\text{m}^2/\text{s}$)

ALGO SOLIS
MICROALGAE R&D FACILITY

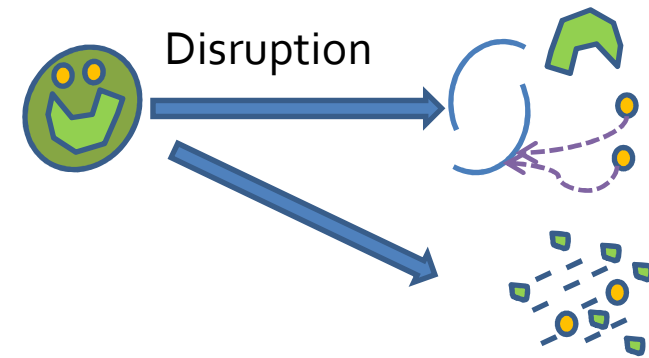
05.10.18

WET EXTRACTION OF LIPIDS FROM MICROALGAE

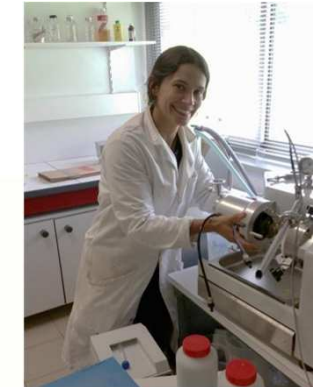
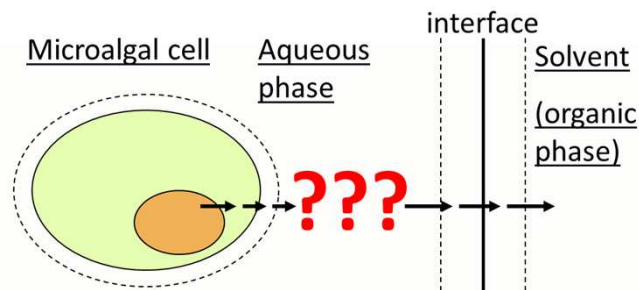
ANR Diesalg project



High pressure disrupter or bead milling



Wet-extraction



Oil bodies extractability combines :

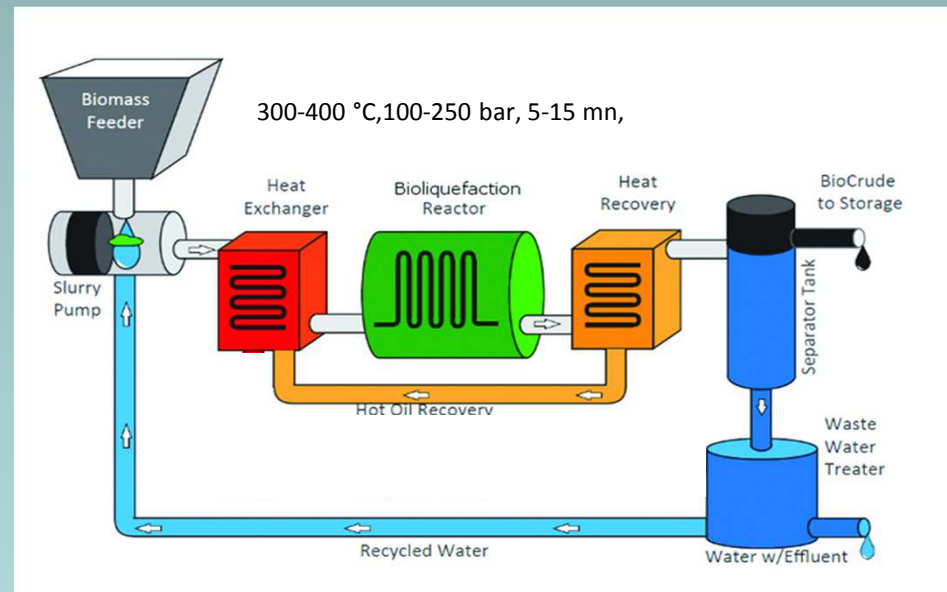
- ➔ *Release from the microalgal cells : integrity effect*
- ➔ *Liquid-liquid mass transfer and water effect*
- ➔ *Dissolution in the organic phase : solvent effect*

Principe liquéfaction hydrothermale

- Liquéfaction hydrothermale (HTL) : conversion en eau sous pression
- Permet de transformer de la biomasse humide en biocrude à température modérée (300-400°C) et à haute pression (100-250 bar) durant 5-15 minutes.
- Ces procédés de liquéfaction permettent l'utilisation de biomasses humides et très humides évitant les procédés de séchage très coûteux
- L'utilisation de catalyseurs alcalins et/ou de métaux permet d'augmenter l'efficacité et la qualité.

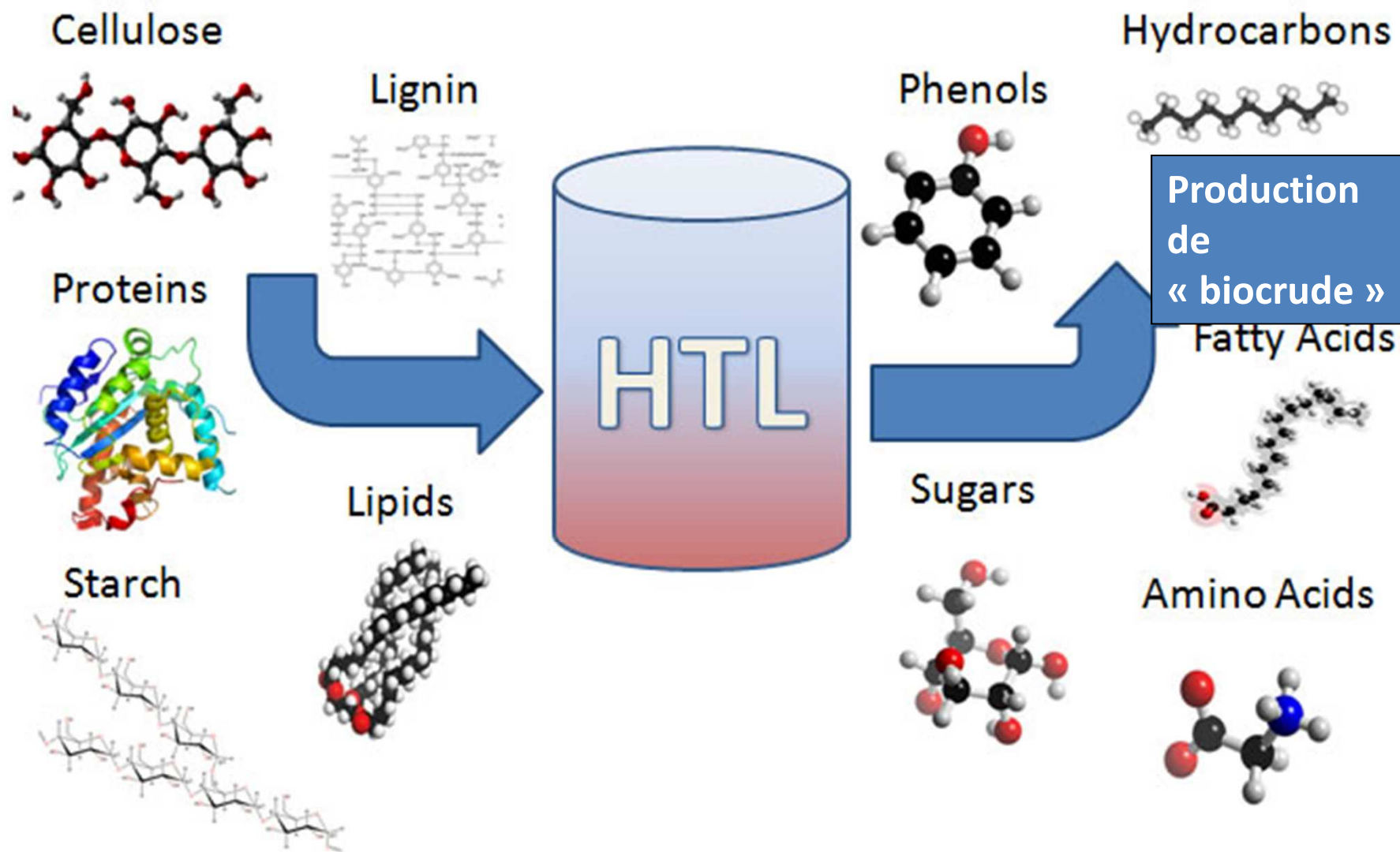
Matières premières

- résidus de l'industrie agro alimentaire
- bio déchets
- micro algues
- Boues de station d'épuration
- ...



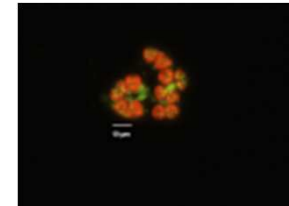
La séparation s'effectue par décantation/filtration ou séparation avec un solvant

Macromolecule Breakdown



BIOMASS PRODUCTION WITH HYDROCARBON

Stoichiometric equation of biomass production of *B. braunii* cultivated in photoautotrophy



Species	Stoichiometric equations	Y_{X/CO_2} (g g ⁻¹)	Y_{X/NO_3} (g g ⁻¹)	Reference
<i>Botryococcus braunii</i>	$CO_2 + 0.03 NO_3 + 0.88 H_2O \rightarrow CH_{1.75} O_{0.15} N_{0.03} + 1.41 O_2$	0.38	8.91	[25]
<i>Chlorella sp.</i>	$CO_2 + 0.12 NO_3 + 0.95 H_2O \rightarrow CH_{1.89} O_{0.42} N_{0.12} + 1.44 O_2$	0.51	3.00	[54]
<i>Spirulina sp.</i>	$CO_2 + 0.17 NO_3 + 0.84 H_2O \rightarrow CH_{1.68} O_{0.36} N_{0.17} + 1.50 O_2$	0.50	2.07	[56]

Stoichiometry → 2.6 kg of CO₂ to produce 1 kg of biomass de *B. braunii*

30 % than other microalgae, as *Chlorella*, or cyanobacteria, as *Spirulina*

Hydrocarbon production

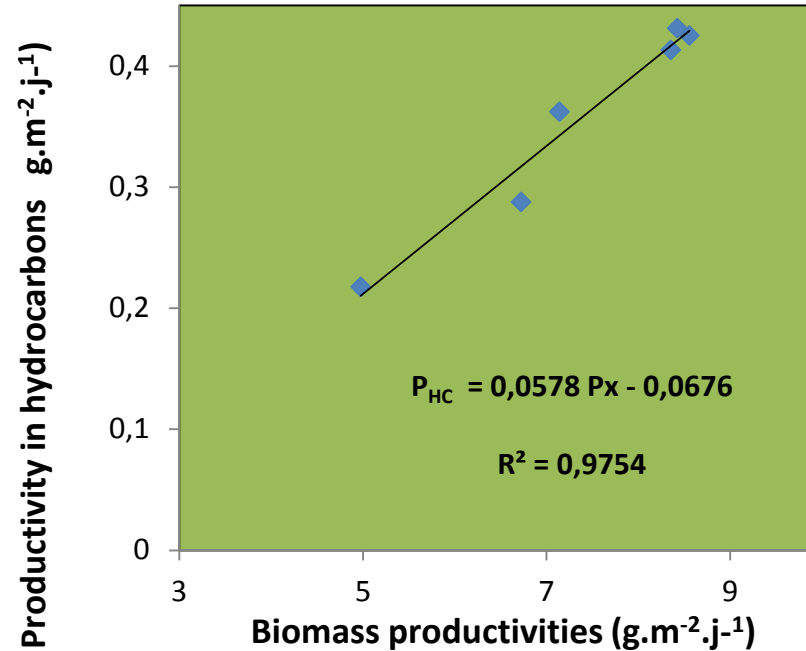
B. braunii race A

Continuous cultures

$$P_x = f(D)$$

$$P_{HC} = f(D)$$

$$P_{HC} = f(P_x)$$



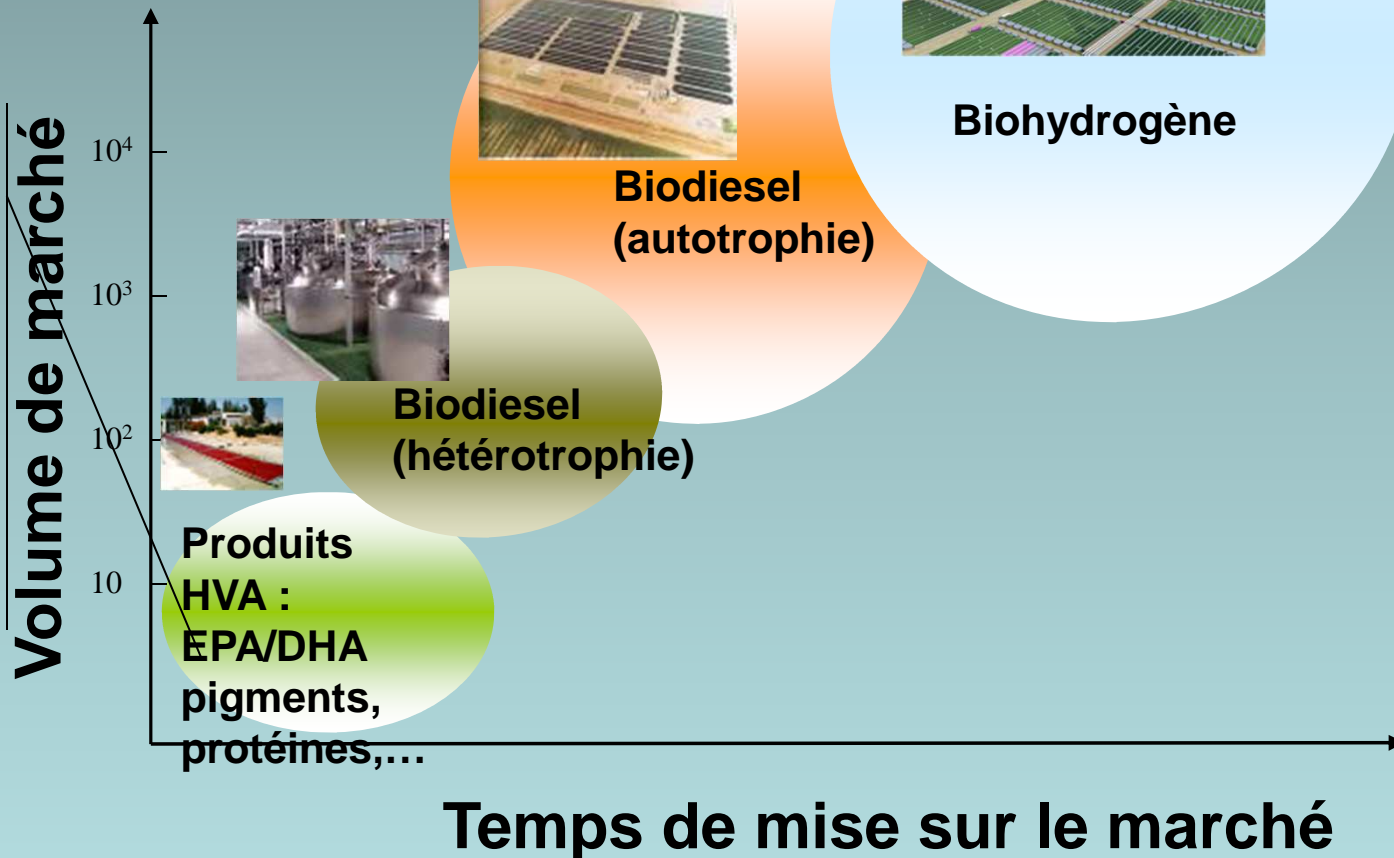
At pH constant → hydrocarbon kinetic production is associated to biomass production

→ Contrary to the TAG production (biodiesel)

nutritional limitations (nitrogen) non necessary

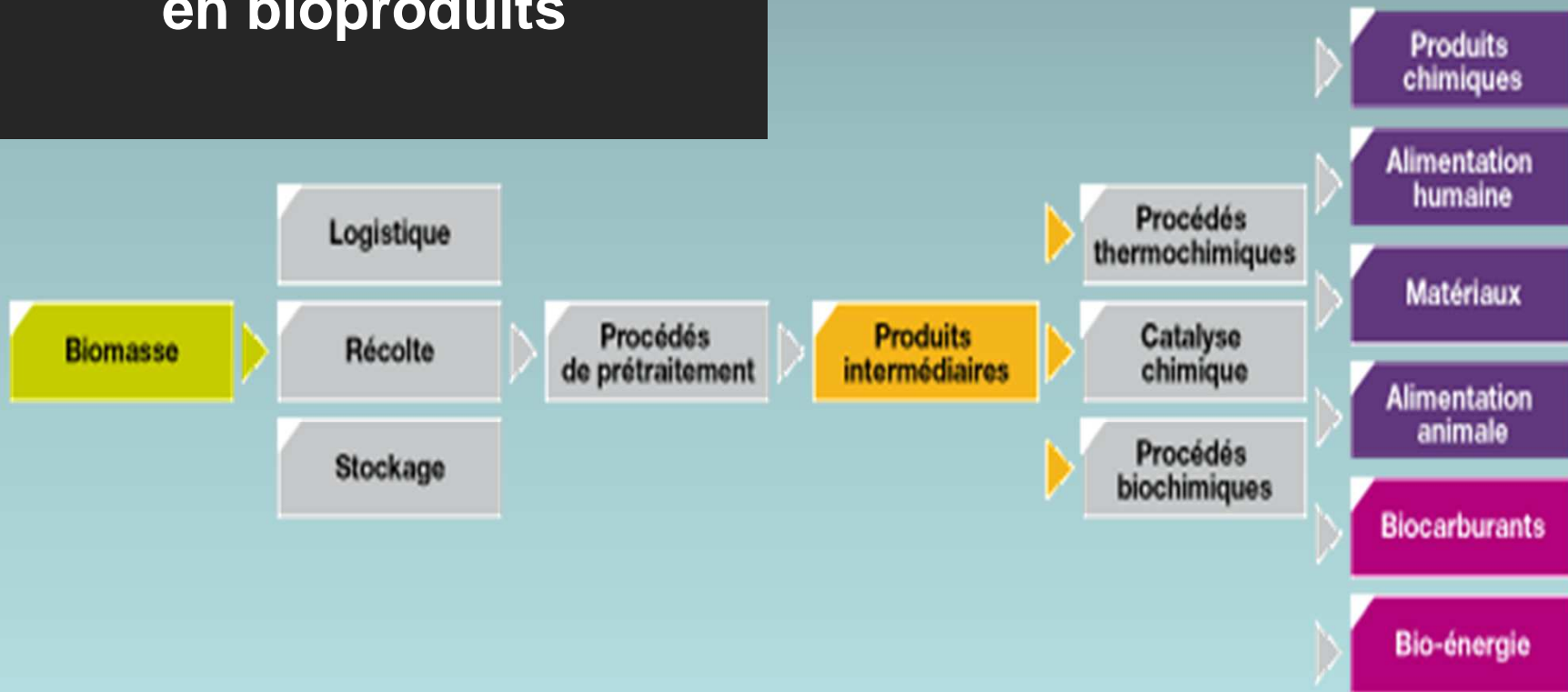
Les biocarburants : efforts en R&D

Sélection
et
performan
ce des
souches



Bioraffinerie

Installation industrielle
pour la transformation de la
biomasse en bioénergie et
en bioproduits



Algoraffinerie : Projet Algoroute

- Fabrication de matériau visco-élastique thermo susceptible à partir de microalgues : biobitume
- Hydrothermale liquéfaction

Algeneans



ALGO SOLIS

MICOALGAE R&D PLATFORM



Objectifs

- *Etudes en conditions réelles et à une échelle représentative de la production industrielle.*
- *Développement et optimisation des briques du procédé d'exploitation (souches, technologies).*
- *Assemblage sur un même site des briques pour évaluer-optimiser un scénario d'exploitation.*
- *Mise en place et optimisation d'une production sur effluents industriels (gaz, liquides).*

INFRASTRUCTURE

- Surface de production 1500m² (dont 350m² sous serre thermorégulée)
- Halle Process de bioraffinage des algues (240m²)
- Salles préculture et laboratoire d'analyse (100m²)

Procédés industriels de culture de 10 à 100m²

- Technologies low-cost type Raceways clos
- Photobioréacteurs intensifiés nouvelle génération

PROCEDES DE RECOLTE

- Systèmes de préconcentration/concentration innovants dédiés aux microalgues
- Procédés de filtration et séparations membranaires
- Centrifugeuses

PROCEDES DE BIORAFFINAGE

- Destructeur cellulaire
- Procédés d'extraction de fractions d'intérêt
- Procédés de fractionnement de la biomasse microalgale

PROCEDES DE CONDITIONNEMENT DE LA BIOMASSE

- Sécheurs
- Lyophilisateur
- Congélateurs

Budget 3.5M€

Inauguration : Avril 2015